

КОМПЬЮТЕРНОЕ МОДЕЛИРОВАНИЕ КРИТИЧЕСКОЙ ДИНАМИКИ НЕУПОРЯДОЧЕННЫХ ДВУМЕРНЫХ ИЗИНГОВСКИХ СИСТЕМ

О.Н.Марков, В.В.Прудников

Омский государственный университет

644077 Омск, Россия

Поступила в редакцию 16 мая 1994 г.

Осуществлено компьютерное моделирование процессов критической релаксации намагнитченности в двумерной модели Изинга с замороженными в узлах решетки немагнитными атомами примеси. Рассмотрена квадратная решетка с размерами 400^2 с концентрацией спинов $p = 1, 0; 0,95; 0,9; 0,85; 0,8; 0,75; 0,7$. Для определения динамического критического индекса z использован метод Монте-Карло совместно с методом динамической ренормгруппы. Получены значения $z(p)$: $z(1) = 2, 24 \pm 0, 07$; $z(0, 95) = 2, 24 \pm 0, 06$; $z(0, 9) = 2, 24 \pm 0, 06$; $z(0, 85) = 2, 38 \pm 0, 05$; $z(0, 8) = 2, 51 \pm 0, 06$; $z(0, 75) = 2, 66 \pm 0, 07$; $z(0, 7) = 2, 88 \pm 0, 06$. Выявлено сингулярное скейлинговое поведение индекса $z = A' \cdot |\ln(p - p_c)| + B'$ с константами $A' = 0, 56 \pm 0, 07$, $B' = 1, 62 \pm 0, 07$.

В соответствии с гипотезой динамического скейлинга [1] при приближении температуры T системы к критической температуре T_c такие характеристики критического поведения как время релаксации τ и корреляционная длина ξ_T термических долгоживущих возбуждений системы оказываются связанными соотношением

$$\ln \tau = f(\ln \xi_T), \quad (1)$$

где $f(x)$ является обобщенной однородной функцией своего аргумента x . Для большинства изученных к настоящему времени критических явлений время релаксации систем удовлетворяло соотношению (1) с функцией $f(x) = zx$ с не зависящей от температуры константой z , называемой динамическим критическим индексом. В результате при $T \rightarrow T_c$ система характеризовалась критическим замедлением времени релаксации с

$$\tau \sim \xi_T^z \sim |T - T_c|^{-z\nu_T}, \quad (2)$$

где ν_T - критический индекс корреляционной длины, задающий ее расходимость при критической температуре. Как показали исследования, численные значения критических индексов, завися от пространственной размерности системы d и числа компонент параметра порядка, являются универсальными для целого ряда систем. Разбиение систем, демонстрирующих фазовые превращения самой различной природы, на классы универсальности равновесного [2] и динамического [1] критического поведения позволило придать теории фазовых переходов и критических явлений необычайную стройность. Изучение критического поведения неупорядоченных магнитных систем со случайно распределенными немагнитными атомами примеси позволило расширить представление о факторах, влияющих на систематизацию по классам универсальности [3]. Исследования показали [4], что присутствие замороженных примесей изменяет свойства магнетиков, теплоемкость которых в однородном состоянии испытывает расходимость в критической точке с индексом $\alpha > 0$.

Данному критерию удовлетворяют только трехмерные системы, эффективный гамильтониан которых вблизи критической точки изоморфен модели Изинга. Ренормгрупповой анализ с использованием ϵ -разложения [5, 6] выявил, что критическое поведение неупорядоченной модели Изинга характеризуется новым набором критических индексов, значения которых не зависят от концентрации точечных примесей $c_{i,mp}$ в области с $c_{i,mp} \ll 1 - p_c$, где p_c - порог спиновой перколяции. В работах [7, 8] проведен анализ равновесного, а в работе одного из авторов [9] динамического критического поведения разбавленных магнетиков непосредственно для трехмерных систем. Эксперимент [10] подтвердил численное отличие статических критических индексов для примесных систем от их значений для однородных магнетиков и показал хорошее согласие с теоретическими результатами.

Особенный интерес для исследователей представляют неупорядоченные низкоразмерные магнетики, описываемые моделью Изинга. Из-за равенства нулю индекса теплоемкости α однородной модели влияние беспорядка, вносимого присутствием примеси, становится неопределенным. Детальное рассмотрение этого случая [11, 12] позволило прийти к выводу, что влияние примеси затрагивает только поведение теплоемкости, в то время как остальные термодинамические и корреляционные функции не изменяют своего критического поведения. Теоретико-полевое рассмотрение релаксационного режима критической динамики неупорядоченных двумерных изинговски-подобных магнетиков показало [9], что оно не отличается от динамики однородной модели в области с $c_{i,mp} \ll 1 - p_c$ и характеризуется индексом $z = 2,277$. Однако остался невыясненным вопрос: являются ли критические индексы неупорядоченных систем универсальными, то есть не зависящими от концентрации примеси вплоть до порога перколяции, или существует линия фиксированных точек, определяющая непрерывное изменение критических индексов с концентрацией.

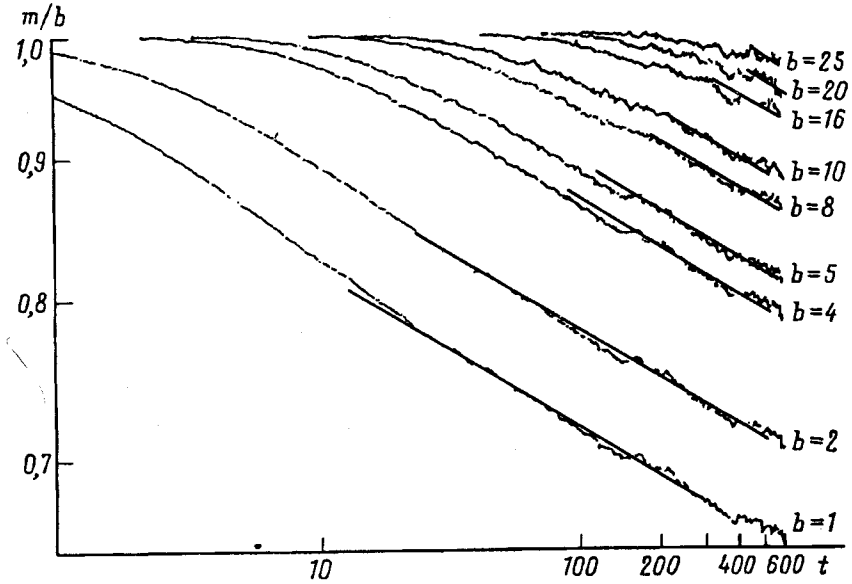
В критическом поведении неупорядоченных систем необходимо особенно отметить область высоких концентраций примеси, близких к порогу перколяции. В ряде работ [13-15] были высказаны идеи нарушения при перколяционной концентрации спинов стандартной формы динамического скейлинга (1) с $f(x) = zx$ и универсальным динамическим индексом z . Предполагается, что при $p = p_c$ реализуется сингулярное динамическое скейлинговое поведение (1) с $f(x) = Ax^2 + Bx + C$. При этом может быть введен зависящий от температуры эффективный динамический индекс $z(\tau \sim \xi^z)$ в виде

$$z = A \cdot \ln \xi_T + B \quad (3)$$

с $z \rightarrow \infty$ при $\xi_T \rightarrow \infty$ ($T \rightarrow 0$, $p = p_c$). Подобная форма индекса z позволяет объяснить anomalно большое его значение, измеренное при рассеянии нейтронов [16] в $\text{Rb}_2(\text{Mg}_{0,41}\text{Co}_{0,59})\text{F}_4$. К настоящему времени в ряде работ по компьютерному моделированию критической динамики неупорядоченных систем при $p = p_c$ и вблизи порога перколяции [17-20] получено подтверждение квадратичной формы скейлинговой функции $f(x)$ для логарифма времени релаксации.

В предлагаемой работе осуществлено компьютерное моделирование методом Монте-Карло критической динамики двумерной модели Изинга как в однородном случае, так и с концентрацией спинов $p = 0,95; 0,9; 0,85; 0,8; 0,75; 0,7$. Данное исследование критической динамики неупорядоченных систем впервые проведено в столь широком интервале изменения концентрации примеси, что

позволило ответить на вопрос о степени универсальности динамического индекса двумерной модели Изинга и области концентраций, в которой начинают проявляться динамические эффекты аномального перколяционного поведения.



Изменение исходной m_1 и перенормированных m_b намагниченностей от времени (единица времени соответствует шагу Монте-Карло на спин) для однородной модели Изинга. Темными отрезками изображены интервалы изменения Δm_b , соответствующие степенному характеру критической релаксации $m_b(t)$ [23]. По точкам этих интервалов в соответствии с (7) осуществлялась процедура определения средних значений z_b для различных b при $b' = 1$

Неупорядоченная модель Изинга задавалась как система спинов $S_i = \pm 1$ с концентрацией p , связанных с $N = pL^2$ ($L = 400$) узлами квадратной решетки. Это дает $p \cdot 2^N$ возможных конфигураций $\{S\}$ с энергией

$$E = -J \sum_{i,j} p_i p_j S_i S_j, \quad (4)$$

где суммирование осуществляется по всем ближайшим парам спинов, J характеризует энергию их взаимодействия, p_i – случайные переменные, описываемые функцией распределения

$$P(p_i) = p\delta(p_i - 1) + (1 - p)\delta(p_i) \quad (5)$$

и характеризующие распределенные по узлам решетки замороженные немагнитные атомы примеси (пустые узлы). Рассматривалась ферромагнитная система с $J > 0$. Использование алгоритма Метрополиса, состоящего в случайном выборе спина S_i и его перевороте с вероятностью, задаваемой функцией

$$W(S \rightarrow S') = \begin{cases} \exp(-\Delta E_{SS'}/kT) & \text{при } \Delta E_{SS'} > 0 \\ 1 & \text{при } \Delta E_{SS'} \leq 0 \end{cases} \quad (6)$$

где $W(S, S')$ определяет вероятность перехода системы из микроскопического состояния с конфигурацией спинов $\{S\}$ к состоянию с конфигурацией $\{S'\}$, позволяет непосредственно реализовать динамику модели Изинга с релаксацией намагниченности

$$m_s(t) = \sum_i^N S_i/N$$

к равновесному значению, определяемому температурой термостата T . Можно связать шкалу времени t со шкалой $\{S\}$ последовательных конфигураций, считая, что N случайных выборок узлов системы осуществляется за единицу времени. Данная единица времени соответствует шагу Монте-Карло на спин. При моделировании критической динамики начальное состояние системы выбирается, когда все спины параллельны ($m_s = 1$), а температура системы равна критической. Критическая температура T_c для неупорядоченных систем является функцией концентрации примеси, понижаясь с ее ростом и обращаясь в нуль при пороговой концентрации $c_{imp} = 1 - p_c$. Для квадратной решетки изинговских спинов $p_c \cong 0,59$, а $T_c(p)$ равны [21]: $T_c(1,0) \cong 2,2692$, $T_c(0,95) \cong 2,0883$, $T_c(0,9) \cong 1,9004$, $T_c(0,85) \cong 1,7071$, $T_c(0,8) \cong 1,5079$, $T_c(0,75) \cong 1,2921$, $T_c(0,7) \cong 1,0751$ в единицах J/k . В данной работе для определения динамического индекса z использован метод Монте-Карло совместно с методом динамической ренормгруппы [22]. Для этого осуществлялась процедура блочного разбиения системы, когда блок b^d соседних спинов заменялся одним спином с направлением, определяемым направлением большинства спинов в блоке. Переопределенная система спинов образует новую решетку с намагниченностью m_b . Если намагниченность исходной решетки в процессе релаксации достигает некоторого значения m_1 за время t_1 , а переопределенная система достигает того же значения m_1 за время t_b , то использование двух систем после блочного разбиения с размерами блоков b и b' и определение промежутков времени t_b и $t_{b'}$, по истечении которых их намагниченности m_b и $m_{b'}$ достигнут одного и того же значения m_1 , позволяет определить динамический индекс z из соотношения

$$t_b/t_{b'} = (b/b')^z \quad \text{или} \quad z = \ln(t_b/t_{b'})/\ln(b/b') \quad (7)$$

в пределе достаточно больших b и $b' \rightarrow \infty$. Этот алгоритм был применен нами к однородной и примесным системам с размерами 400^2 и приведенными выше концентрациями спинов. Для систем с $p \geq 0,9$ осуществлялась процедура моделирования релаксации из 1000 шагов Монте-Карло на спин при 10–15 прогонках с различными конфигурациями примесей, по которым и проводилось усреднение зависимостей $m_b(t)$. Для систем с $p = 0,85; 0,8; 0,75; 0,7$ процедура моделирования релаксации состояла соответственно из 2000, 4000, 8000, 16000 шагов Монте-Карло на спин при 30 прогонках с различными конфигурациями примесей. Последнее обусловлено тем, что по мере приближения к порогу перколяции возрастают флуктуации в распределении примесей по решетке, а это требует и увеличения числа примесных конфигураций для усреднения зависимостей $m_b(t)$. Размер системы позволял осуществить разбиение на блоки с размерами $b = 2, 4, 5, 8, 10, 16, 20, 25, 40$. Для примера на рисунке приведены графики изменения исходной и перенормированных намагниченностей $m_b(t)$ от времени для однородной системы. На

основе соотношений (7) были получены наборы значений индекса z_b , соответствующих различным b (см. таблицу). Выделенная тенденция зависимости z от b позволила осуществить процедуру экстраполяции на случай $b \rightarrow \infty$, предполагая зависимость $z_b = z_{b=\infty} + \text{const}b^{-1}$. За деталями методики моделирования критической динамики неупорядоченных систем и определения индекса z мы отсылаем к работе [23]. В результате были получены следующие значения $z(p)$: $z(1) = 2,24 \pm 0,07$, $z(0,95) = 2,24 \pm 0,06$, $z(0,9) = 2,24 \pm 0,06$, $z(0,85) = 2,38 \pm 0,05$, $z(0,8) = 2,51 \pm 0,06$, $z(0,75) = 2,66 \pm 0,07$, $z(0,7) = 2,88 \pm 0,06$. Относительно высокая погрешность значений $z(1)$ и $z(0,95)$ обусловлена более широким набором z_b , использованным для получения экстраполированного индекса $z_{b=\infty}$. В то время как увеличение погрешности для $z(p)$ с $p \leq 0,8$ связано с ростом флуктуаций в распределении примесей и увеличенным в связи с этим числом усредняемых примесных конфигураций.

Значения динамического индекса z_b , полученные по формуле (7), и экстраполированные значения $z_{b=\infty}$ для системы 400^2 с различными концентрациями спинов p

b	p						
	1,0	0,95	0,9	0,85	0,8	0,75	0,7
4	2,456± ±0,068						
5	2,454± ±0,061	2,439± ±0,053					
8	2,401± ±0,047	2,394± ±0,048	2,433± ±0,042				
10	2,357± ±0,036	2,366± ±0,034	2,417± ±0,034	2,473± ±0,040			
16	2,305± ±0,046	2,334± ±0,026	2,389± ±0,041	2,469± ±0,028	2,565± ±0,048	2,805± ±0,051	
20	2,285± ±0,031	2,291± ±0,032	2,332± ±0,031	2,461± ±0,016	2,557± ±0,042	2,803± ±0,056	2,954± ±0,057
25	2,242± ±0,029	2,252± ±0,023	2,269± ±0,032	2,385± ±0,029	2,547± ±0,035	2,788± ±0,054	2,942± ±0,048
40					2,532± ±0,036	2,703± ±0,035	2,912± ±0,053
$z_{b=\infty}$	2,24± ±0,07	2,24± ±0,06	2,24± ±0,06	2,38± ±0,05	2,51± ±0,06	2,66± ±0,07	2,88± ±0,06

Анализ полученных значений индекса $z(p)$ показывает, что для концентраций $p \geq 0,9$ критическая динамика неупорядоченной двумерной модели Изинга принадлежит к тому же классу универсальности, что и критическая динамика однородной модели с индексом $z = 2,24 \pm 0,07$. Полученное значение индекса хорошо согласуется с результатами теоретико-полевого подхода [9] с $z = 2,277$ и ряда других работ по динамике однородной двумерной модели Изинга: $z = 2,22 \pm 0,13$ [24], $2,23$ [25], $2,22$ [15], $2,24 \pm 0,04$ [26], хотя существуют и иные результаты с $z = 2,125 \pm 0,010$ [27], $2,14 \pm 0,02$ [28], $2,13 \pm 0,03$ [29].

Для систем с концентрациями спинов $p \leq 0,85$ было обнаружено увеличение динамического индекса z по мере уменьшения p . Данные изменения $z(p)$ могут быть интерпретированы как результат проявления кроссоверных эффектов перколяционного поведения. Было выявлено, что зависимость индекса z от p для $p = 0,7; 0,75; 0,8; 0,85$ хорошо описывается логарифмической функцией

$$z = A' |\ln(p - p_c)| + B' \quad (8)$$

с $A' = 0,56 \pm 0,07$, $B' = 1,62 \pm 0,07$. Полученная зависимость (8) может быть сопоставлена с аномальной скейлинговой зависимостью (3) для эффективного динамического индекса z при $\xi_T \approx \xi_p = \xi_0(p - p_c)^{-\nu_p}$ и $A' = A\nu_p$, $B' = B + A \ln \xi_0$, где ν_p - индекс корреляционной длины ξ_p для явления перколяции. Равенство $\xi_T \approx \xi_p$ соответствует условиям проводимого компьютерного эксперимента при $T = T_c(p)$ и p , близких к p_c , так как при использовании ряда известных соотношений для модели Изинга может быть получено, что $\xi_T/\xi_p \approx \exp[2J\nu_T(T - T_c)/kTT_c]$ при $p \rightarrow p_c$ и $T \rightarrow T_c(p)$. Сравнение с результатами исследования методом Монте-Карло зависимости времени релаксации τ от температуры [18] при $p = p_c$ ($A = 0,62 \pm 0,12$) и от концентрации p при $p < p_c$ [19] ($A = 0,48$) показывает, что получаемое нами значение $A = 0,42 \pm 0,07$ при $\nu_p = 4/3$ хорошо согласуется с результатами работы [19].

Таким образом, в данной работе получено подтверждение сингулярного динамического скейлингового поведения вблизи порога перколяции, эффекты которого начинают проявляться для двумерной модели Изинга при концентрациях спинов $p \leq 0,85$. В данном явлении нашло свое отражение общее свойство динамического поведения примесных систем в длинноволновом пределе, которое в отличие от статического характеризуется другими локальными законами сохранения в рассеянии спиновых флуктуаций на примесях. В результате в критической динамике присутствие примесей сказывается сильнее, чем при описании равновесных свойств в критической точке.

1. P.C.Hohenberg and B.I.Halperin, Rev. Mod. Phys. 49, 435 (1977).
2. M.E.Fisher, Rev. Mod. Phys. 46, 597 (1974).
3. R.B.Stinchcombe, in Phase Transitions and Critical Phenomena, ed. C.Domb and J.L.Lebowitz, vol.7 (Academic, New York, 1983), p.151.
4. A.V.Harris, J. Phys. C 7, 1671 (1974).
5. Д.Е.Хмельницкий, ЖЭТФ 68, 1960 (1975).
6. G.Grinstein, S-k.Ma, and G.F.Mazenko, Phys. Rev. B15, 258 (1977).
7. K.E.Newman and E.K.Riedel, Phys. Rev. B 25, 264 (1982).
8. G.Jug, Phys. Rev. B 27, 609 (1983).
9. В.В.Прудников, А.Н.Вакилов, ЖЭТФ 101, 1853 (1992).
10. R.J.Birgeneau et al., Phys. Rev. B 27, 6747 (1983).
11. V.S.Dotsenko and V.S.Dotsenko, J. Phys. C 15, 495, L557 (1982).
12. G.Jug, Phys. Rev. B 27, 4518 (1983).
13. С.К.Ненлей, Phys. Rev. Lett. 54, 2030 (1985).
14. С.К.Ненлей и R.B.Stinchcombe, Phys. Rev. Lett. 56, 869 (1986).
15. E.J.S.Lage, J. Phys. C 19, L91 (1986).
16. G.Aeppli, H.Guggenheim, and Y.Uemura, Phys. Rev. Lett. 52, 942 (1984).
17. D.Chowdhury and D.Stauffer, J. Phys. A 19 L19 (1986).
18. S.Jain, J. Phys. A 19, L667 (1986).
19. B.Biswal and D.Chowdhury, Phys. Rev. A 43, 4179 (1991).
20. V.V.Andreichenko, W.Selke, and A.L.Talapov, J. Phys. A 25, L283 (1992).
21. H.-O.Heuer, Europhys. Lett. 18, 503 (1991).
22. N.Jan, L.L.Moseley, and D.Stauffer, J.Stat. Phys. 33, 1 (1983).
23. В.В.Прудников, А.Н.Вакилов, ЖЭТФ 103, 962 (1993).
24. J.Tobochnik, S.Sarker, and R.Cordery, Phys. Rev. Lett. 46, 1417 (1981).
25. S.L.Katz, J.D.Gunton, and C.P.Liu, Phys. Rev. B 25, 6008 (1982).
26. P.H.Poolo and N.Jan, J.Phys. A 23, L453 (1990).
27. Z.Racz and M.F.Collins, Phys. Rev. B 13, 3074 (1976).
28. С.Калле, J. Phys. A 17, L801 (1984).
29. J.K.Williams, J.Phys. A 18, 49 (1985).